

اثر محلول غذایی مغناطیسی شده بر رشد، برخی ویژگی‌های فیزیولوژیک و محتوای عنصرهای معدنی دو رقم ورد در شرایط آبکشت^۱

Effect of Magnetized Nutrient Solution on Growth, Some Physiological Properties and Content of Mineral Elements of Two Rose Cultivars in Hydroponic Culture Conditions

احمد فریدنیا، سید جلال طباطبائی* و ایمان روح الهی^۲

چکیده

این آزمایش برای بررسی اثر محلول غذایی مغناطیسی شده با چهار تیمار الکترومغناطیس (۰، ۲۰، ۴۰ و ۸۰ گاووس) بر رشد، ویژگی‌های فیزیولوژیک و عنصرهای غذایی دو رقم ورد (سامورایی و لاکسور) به صورت فاکتوریل در قالب طرح پایه به طور کامل تصادفی با سه تکرار اجرا گردید. در هر واحد آزمایشی چهار بوته در بستر پومدیا کاشته و با تایمر دیجیتالی در سیستم باز با محلول غذایی تغذیه شدند. نتیجه‌ها نشان داد که پیاج و هدایت الکتریکی محلول غذایی در تمامی تیمارها کمی کاهش یافت. ارتفاع ساقه گلدهنه به صورت معنی دار در تیمار ۴۰ گاووس برای رقم سامورایی ۲۳٪ و تیمار ۲۰ گاووس برای رقم لاکسور ۱۶٪ افزایش یافت. قطر ساقه به صورت معنی دار در تیمار ۴۰ گاووس برای رقم سامورایی ۲۲٪ و تیمار ۲۰ گاووس برای رقم لاکسور ۱۰٪ افزایش یافت. افزایش سطح برگ دو رقم معنی دار و مقدار آن در تیمار ۴۰ گاووس، ۶۸٪ بود. غلظت فسفر بصورت معنی دار کاهش یافت. شمار گل، غلظت کلسیم و نیتروژن و همچنین شاخص‌های سبزیجات برگ و رنگ گل تاثیر نپذیرفتند. تغییرهای عمر گل‌جای در هر دو رقم در تمامی تیمارها اندک و غیر معنی دار بود.

واژه‌های کلیدی: مغناطیسی، الکترومغناطیس، الکتریکی، گل.

مقدمه

کاربرد تیمارهای مغناطیسی در کشاورزی در ۹۰ سال اخیر به طور گسترده مطالعه شده است. مغناطیدن آب جدیدترین این کاربردها است که پس از ۱۹۸۰ میلادی به آن توجه شده است (۴). آب به لحاظ داشتن شبکه پیوندهای هیدروژنی ماده‌ای غیرعادی بوده، و به خاطر نیروهای هیدرواستاتیک قوی و تراکم‌ناپذیری، امکان انبساط یاخته‌های پر شده با آب را فراهم می‌نماید. آب به خاطر حل نمودن و اصلاح ویژگی‌های زیست‌مولکول‌ها، از راه تشکیل پیوند هیدروژنی با گروه‌های عملکردی آنها، در اندامگان زنده ماده‌ای اساسی بوده و افزایش پیوندهای هیدروژنی آن در فشار بالا، ممکن است ویژگی منحصر بفرد آن برای تبدیل شدن به مهمترین ماده زیستی باشد. ویژگی‌های زیست‌فیزیکی آب به واسطه دیامگنتیک^۳ بودن می‌تواند زیر تاثیر میدان‌های مغناطیسی قرار گیرد (۱۰). این میدان‌ها با تغییر طول پیوند O-H و زاویه H-O-H، ساختار الکترونیک آب را تغییر داده، با کم کردن فاصله اتم‌های هیدروژن و اکسیژن دو مولکول مجاور به کمتر از ۲۴°، بین آنها

۱- تاریخ دریافت: ۹۹/۵/۳۱ تاریخ پذیرش: ۹۹/۱۱/۱۷

۲- به ترتیب دانشجوی کارشناسی ارشد دانشکده علوم کشاورزی، استاد دانشکده علوم کشاورزی و مرکز تحقیقات گیاهان دارویی و استادیار دانشکده علوم کشاورزی، دانشگاه شاهد، تهران، ایران.

* نویسنده مسئول، پست الکترونیک: j.tabatabaei@shahed.ac.ir

پیوند برقرار نموده (۴)، موجب افزایش شمار مولکول‌ها در خوش‌های آب و بزرگ‌تر و پایدارتر شدن آنها می‌گردد. تغییر ساختار، ویژگی‌های فیزیکی آب مانند درجه غوطه‌ورسازی و آبگریزی برای ماده‌ها، نیروی کشش سطحی، لزج بودن، شاخص شکست نور، گذردهی نسبی و هدایت الکتریکی را تغییر می‌دهد (۲۱). میدان الکتریکی با کم کردن انرژی پیوند هیدروژنی بر طول آن افزوده، با همراستایی گشتاور دو قطبی ساختار آب با میدان، ساختار حلقوی آب را باز و تبدیل به ساختار خطی نموده، بر حالت‌های انتقالی آن اثر گذاشته، ماده‌های نامحلول در آن را به حالت تعلیق در می‌آورد (۵). براساس رابطه یک میدان الکتریکی با انتقال اتم هیدروژن از یک مولکول مشارکت کننده در پیوند هیدروژنی به مولکول مجاور، آنها را به یون‌های هایدرونیم^۱ و هایدروکساید^۲ یونیزه و پی‌اچ و رسانایی آب را تغییر می‌دهد (۱۷).



آب مغناطیسی شده با افزایش پیوندهای پروتئینی در یاخته، سبب افزایش رشد گیاه و گسترش ریشه می‌گردد (۱۱). مغناطیدن آب بیکربنات کلسیم و گچ آن را کاهش داده و کاربرد آن در ذرت بر فعالیت آنتی‌اکسیدان‌های گیاهی کاتالاز، آسکوربات پراکسیداز، فنول‌ها، فلاونوئیدها و آنتوکسیانین‌ها می‌افزاید (۱۹). در انگور، کاربرد دو محلول غذایی با ترکیب یکسان مغناطیسی شده با دو روش که در اولی آب مورد استفاده پیش از افزودن ترکیب‌ها و در دومی پس از افزودن آنها مغناطیسی شده بود، نشان داد که پی‌اچ و هدایت الکتریکی محلول‌ها و مقدار پرولین، فنول، آنتوکسیانین، فلاونوئید، آزیمهای فنیل آلانین آمونیا لیاز^۳، پراکسیداز^۴ و پلی فنول اکسیداز^۵، ترنس ریزوراترول^۶، نابودکننده‌های DP و پی‌اچ یاخته گیاهان، از تیمار مغناطیسی تاثیر پذیرفته و پاسخ آنها به شدت و شیوه مغناطیدن محلول‌ها به طور کامل متفاوت است (۲۲). تغییر بسامد میدان الکتریکی در کشت بدون خاک کاهو^۷ بر جذب و جایه‌جایی عنصرها در گیاه، میزان رنگدانه‌های نورساختی^۸ و ماده خشک مؤثر بوده و با افزایش جذب عنصر کادمیم از جذب مس به دلیل رابطه پادکنشی^۹ می‌کاهد (۱). کاربرد میدان الکترومغناطیسی بسامد پایین در بستر آبی دارای یاخته‌های مخمر نان^{۱۰} باعث افزایش و بسامد بالا باعث نابودی آنها گردید که دلیل آن می‌تواند این باشد که بسامد پایین با جایگزینی پتاسیم محیطی با کلسیم پوسته یاخته، آن را ضعیفتر و در برابر عنصرها نفوذ پذیرتر و بسامد بالا با ورود بیشتر کلسیم محیطی به پوسته، آن را محکم‌تر و نفوذناپذیرتر می‌نماید (۸).

با توجه به نقش میدان‌های مغناطیسی در فیزیولوژی گیاهان و جذب آب و عنصرهای غذایی، به نظر می‌رسد که فناوری‌های مغناطیسی پایه نقش مهمی در بهینه‌سازی مصرف این عوامل محدود‌کننده کشاورزی در آینده دارند و پژوهش‌های انجام شده هم این امکان را نشان داده است. با توجه به اهمیت کاربرد این فناوری در مغناطیدن محلول غذایی آبکشت و نبود پژوهش‌های کافی در زمینه اثر محلول غذایی مغناطیسی شده بر محصول‌های گلخانه‌ای در سیستم آبکشت، هدف پژوهش حاضر روی بررسی اثر تیمار الکترومغناطیسی بر پی‌اچ و هدایت الکتریکی محلول غذایی و جذب عنصرهای غذایی توسط گیاه ورد^{۱۱} و نیز مطالعه ویژگی‌هایی مانند شمار گل، قطر و ارتفاع ساقه گلدهنده، قطر غنچه گل، عمر گلچای، سطح برگ، درصد ماده خشک، مقدار سبزینه و میزان عنصرهای کلسیم، پتاسیم، فسفر و نیتروژن برگ و همچنین شاخص‌های رنگ گل متتمرکز گردید.

مواد و روش‌ها

آزمایش حاضر از میانه پاییز ۱۳۹۷ تا پایان بهار ۱۳۹۸ به مدت حدود ۷ ماه به صورت فاکتوریل و در قالب طرح به طور کامل تصادفی با ۳ تکرار و ۴ تیمار الکترومغناطیس با شدت‌های صفر، ۲۰، ۴۰ و ۸۰ گاووس^{۱۲} با استفاده از قلمه ریشه‌دار غیر پیوندی یکساله دو رقم ورد (سامورایی^{۱۳} و لاکسور^{۱۴}) تهیه شده از گلخانه‌ای در تهران که در گلخانه دانشگاه شاهد با دمای میانگین روزانه ۲۵ و شبانه ۱۸ درجه سلسیوس و رطوبت متوسط ۶۵٪ و نور طبیعی داخل اسلب‌های (کیسه‌های دو جداره) پر شده با

Peroxidase -۴	Phenylalanine ammonia-lyase -۳	Hydroxide -۲	Hydronium -۱
Photosynthetic -۸	<i>Lactuca sativa</i> L. -۷	Trans-resveratrol -۶	Polyphenol oxidase -۵
Gauss-۱۲	<i>Rosa hybrida</i> L. -۱۱	<i>Saccharomyces cerevisiae</i> M. -۱۰	Antagonistic -۹
<i>Rosa hybrida</i> cv. Luxor -۱۴			<i>Rosa hybrida</i> cv. Samurai -۱۳

پومدیا^۱(مخلوط ۵۰٪ پومیس، ۳۰٪ بربلیت٪ ورمیکولیت با دانه بندی ۱-۶ میلی‌متر) کاشته شدند، انجام شد. هر تکرار شامل ۲ اسلب از هر تیمار بود که در هر اسلب ۴ قلمه از یک رقم کاشته شد.

تعذیب گیاهان

از ابتدا با محلول هوگلن^۲ تعذیب یافته (۲۰) انجام شد (جدول ۱).

جدول ۱- ترکیب محلول غذایی استفاده شده.

Table 1. Composition of the nutrient solution used

ترکیب Composition	مقدار (گرم در ۱۰۰ لیتر آب) Amount (g per 100 liters of water)
KNO ₃	50
NH ₄ NO ₃	15
Urea	3
Ca(NO ₃) ₂ .4H ₂ O	55
MgSO ₄ .7H ₂ O	40
NH ₄ H ₂ PO ₄	5
KH ₂ PO ₄	5
FE-EDDHA	2.5
MnSO ₄	0.2
H ₃ BO ₃	0.22
ZnSO ₄	0.23
CuSO ₄	0.005
H ₂ MoO ₄ .H ₂ O	0.001

پایج محلول در ابتدا در شرایط غیر بافری ۷ و هدایت الکتریکی آن $1/6 \text{ dS m}^{-1}$ بود که در طول آزمایش به خاطر متناسب نمودن غلظت آن با نیاز گیاهان، تعذیب‌های کمی داشت. تنظیم اسیدیته محلول با استفاده از فسفوکلر اسید و نیتریک اسید به نسبت ۱/۱ انجام شد. برای تهیه محلول غذایی ترکیب‌های بیان شده در قالب سه محلول پایه با یکدیگر مخلوط و سپس این محلول‌ها با یک سیستم خودکار مجهز به پایج مترا و ای سی متر با نسبت‌های معین با یکدیگر ترکیب گردید. محلول رسانی به بوته‌ها با مجموعه پمپ، لوله‌های پلی‌اتیلن و قطره‌چکان‌های با دبی ۸ لیتر در ساعت مجهز به تایمر، از ۸ صبح الی ۵ پس از ظهر، در فواصل زمانی یک ساعته و هر نوبت ۳ دقیقه انجام شد.

مولد میدان الکترومغناطیسی و مغناطیسی نمودن محلول غذایی

مولد شامل سه لوله P.V.C با قطر حدود ۱ اینچ، ضخامت ۲ میلی‌متر و طول بیش از یک متر بود که در اطراف آنها سیم لاکی قطر ۸/۰ میلی‌متر، در طول یک متر، با دورهای ۴۵۵، ۹۱۰ و ۱۸۲۰ به صورت هم‌جهت، برای تولید میدان‌های ۲۰، ۴۰ و ۸۰ گاوس پیچیده شده بود. محاسبه دور سیم‌پیچ‌ها با استفاده از روابط $2\pi \times n$ شدت میدان بر حسب تسلا، μ ضریب نفوذ پذیری میدان برابر 10^{-7} شمار دور سیم، I شدت جریان برابر ۷ آمپر و L طولی از لوله که سیم بدور آن پیچیده شد و با در نظر گرفتن اینکه هر تسلا معادل ۱۰۰۰۰ گاوس است انجام شد. دستگاه مجهز به زمان‌سنج و طراحی اولیه آن برای برق مستقیم ۱۲ ولت ۷ آمپر (باتری اتومبیل) بود که برای کار با برق ۲۲۰ ولت متناوب به ترانس مبدل و یک سوکننده جریان مجهز شد. شیوه کاربرد میدان روی محلول غذایی به این ترتیب بود که هر کدام از لوله‌های سیم‌پیچی شده در مسیر لوله‌های محلول رسان یکی از تیمارها قرار داده شد تا محلول غذایی با گذر از آنها مغناطیسی شود. در تیمار شاهد محلول بدون گذر از میدان الکترومغناطیس به پای بوته‌ها ارسال گردید. از آنجایی که جهت میدان الکتریکی و جهت جریان محلول می‌تواند اثرهای متفاوتی بر مغناطیسی شدن محلول داشته باشد، طراحی سیستم به گونه‌ای انجام شد که جریان الکتریسته ورودی به سیم‌پیچ‌ها و مایع‌های ورودی به درون لوله‌ها هم‌جهت باشند تا جهت کاربرد میدان الکترومغناطیس نیز یکسان باشد. زمان‌سنج دستگاه به گونه‌ای تنظیم شد که مغناطیسی کننده از یک دقیقه پیش از روش

شدن سیستم محلول رسان تا یک دقیقه پس از خاموش شدن آن فعال باشد. دبی جریان گذرنده از مغناطیس کننده ۲/۱ لیتر در دقیقه بود. باید بیان شود که مغناطیدگی اثری حافظه‌ای است که پس از قطع میدان، تا مدتی متناسب با شدت و مدت کاربرد میدان و دمای محیط باقی می‌ماند.

$$L = 2\pi Rn \quad B_o = \mu_0 nI = \mu_0 \frac{N}{L} \times I \quad B_o = \frac{\mu_0 I}{R} = 2\pi \times 10^{-7} \frac{nI}{R}$$

رابطه پنج	رابطه چهار	رابطه سه	رابطه دو
-----------	------------	----------	----------

اندازه‌گیری پیاج و هدایت الکتریکی محلول غذایی

نمونه برداری برای سنجش پیاج و هدایت الکتریکی محلول غذایی سه ماه پس از آغاز تیمار مغناطیسی در ۴ روز و هر روز ۳ نوبت انجام شد.

اندازه‌گیری مؤلفه‌های رشد و نموی گیاه

مؤلفه‌های رشدی اندازه‌گیری شده شامل شمار گل در بوته، ارتفاع و قطر ساقه گلدهنده و قطر غنچه و سطح برگ بودند. شمارش گل و اندازه‌گیری ارتفاع و قطر ساقه گلدهنده و قطر گل برای همه بوته‌ها طی چند دوره گلدهی انجام و میانگین آن برای هر تیمار ثبت گردید.

ارتفاع ساقه گلدهنده از محل اتصال به تنہ اصلی تا زیر نهنج گل اندازه‌گیری شد.

اندازه‌گیری قطر ساقه و غنچه گل با کولیس دیجیتال (مدل ۰۰۰A-۱۱۱۴) ساخت شرکت Insize (چین) با دقت ۰/۰۵ میلی‌متر و به این ترتیب انجام شد که قطر ساقه گلدهنده در سه نقطه بالا، وسط و پایین اندازه‌گیری و میانگین آن برای یک ساقه و یک تیمار ثبت گردید. قطر غنچه پس از باز شدن نخستین کاسبرگ، در بزرگترین مقطع اندازه‌گیری شد.

برای اندازه‌گیری سطح برگ، قوی‌ترین ساقه گلدهنده هر بوته یک تیمار انتخاب و همه برگ‌های آن جمع‌آوری شد. سپس مجموع سطح برگ‌های جمع‌آوری شده با دستگاه سنجش سطح برگ (مدل Delta area meter mk2 ΔT) ساخت شرکت انگلستان) اندازه‌گیری و مقدار آن برای هر تیمار ثبت شد (۲۰).

اندازه‌گیری ویژگی‌های کیفی گیاه

ویژگی‌های کیفی اندازه‌گیری شده عبارت بودند از درصد ماده خشک برگ، شاخص‌های سبزینه کل برگ و رنگ گل، عمر گلچای و غلظت نیتروژن، پتاسیم، فسفر و کلسیم برگ.

برای اندازه‌گیری درصد ماده خشک برگ، قوی‌ترین ساقه گلدهنده هر بوته یک تیمار انتخاب و همه برگ‌های آن جمع‌آوری شد. پس از سنجش وزن تر برگ‌های جمع‌آوری شده، آنها را در دمای $C^{\circ} 75$ به مدت سه روز در آون (ساخت ایران) خشک و پس از اندازه‌گیری وزن خشک آنها، درصد ماده خشک آنها سنجش و میانگین آن برای هر تیمار ثبت گردید (۲۰).

برای سنجش عمر گلچای، ساقه‌های گلدهنده پس از بازشدن ۲-۳ گلبرگ گل آنها از بالای محل اتصال به تنہ اصلی جدا و داخل آب تصفیه شده حاوی یک حبه قند و یک الی دو قطره محلول سدیم هیپوکلریت در هر لیتر، تا نمایان شدن نخستین نشانه پژمردگی گلبرگ بیرونی نگهداری شده و با ثبت تاریخ‌های برداشت و پژمردگی، عمر گلچای آنها سنجش شد.

اندازه‌گیری شاخص‌های رنگ گل L^* , a^* , b^* , c^* , h^* و ΔE^* ، پیش از برداشت گل‌ها با دستگاه رنگ سنج (مدل RM2000QC ساخت شرکت X-rite آمریکا) در سیستم CIE روی دومین گلبرگ بیرونی قوی‌ترین گل هر تیمار انجام شد.

برای سنجش سبزینه کل برگ، یک برگ از هر بوته یک تیمار به صورت تصادفی انتخاب و با سبزینه سنج (SPAD 502 PLUS مدل ۲۰۶-Airt ساخت شرکت Konica Minolta ژاپن) شاخص سبزینه آن سنجش و میانگین آن برای تیمار ثبت شد.

برای سنجش درصد عنصرهای غذایی برگ، ابتدا نمونه‌ها در اندازه ۲۰۰ مش آسیاب گردید. اندازه‌گیری نیتروژن با روش کجلدال^۲ و در سه مرحله شامل هضم نمونه‌ها با سولفوریک اسید ۹۸٪ در اجاق هضم (ساخت شرکت Pecofood ایران)، تقطیر عصاره هضم شده با دستگاه کجلدال (ساخت سوئیس) و تیتراسیون عصاره‌های حاصل با هیدروکلریک اسید ۱۰٪ نرمال انجام و مقدار هیدروکلریک اسید مصرفی برای محاسبه نیتروژن ثبت گردید (۲۰). برای اندازه‌گیری پتاسیم، فسفر و کلسیم ابتدا

عصاره نمونه‌ها با روش هضم با نیتریک اسید ۶۵٪ به دست آمد. سپس غلظت پتاسیم و کلسیم عصاره‌ها با دستگاه فلیم فتومر UV=1205 شرکت Shimadzu (ژاپن) انجام شد. برای اینکار ابتدا ۲ میلی لیتر از هر عصاره داخل فالکون ۱۵ میلی لیتری ریخته شد و به آن ۲ میلی لیتر معرف نیترووانادات و آمونیم مولبیدیت و ۸ میلی لیتر آب مقطر اضافه گردید. پس از گذشت یک ساعت و تشکیل کمپلکس زرد، نمونه‌ها داخل دستگاه اسپکتروفوتومتر که منحنی کالیبراسیون فسفر برای آن رسم شده بود قرار داده شد و عدد جذب آنها در طول موج ۴۳۰ نانومتر ثبت گردید. سپس با قراردادن عده‌های خوانده شده دستگاه در فرمول منحنی کالیبراسیون فسفر، غلظت فسفر برای هر نمونه بر حسب mg g^{-1} محاسبه گردید (۲۰).

واکاوی آماری

آنالیز واریانس داده‌های به دست آمده به جز پیاج و هدایت الکتریکی محلول غذایی با نرم‌افزار SAS (۹.۲) انجام و میانگین‌ها با آزمون چند دامنه‌ای دانکن در سطح احتمال ۱ و ۵ درصد گروه‌بندی شد. میانگین‌پیاج و هدایت الکتریکی بدون آنالیز آماری محاسبه شد.

نتایج

تیمارهای الکترومغناطیس موجب کاهش کم پیاج و هدایت الکتریکی محلول غذایی شدند؛ به گونه‌ای که پیاج از ۵/۵۴ در شاهد به ۱/۱۵ در تیمار ۲۰، ۵/۴۸ در تیمار ۴۰ و ۵/۵۱ در تیمار ۸۰ و هدایت الکتریکی از ۱/۹۳ در تیمار شاهد به ۱/۸۸ در تیمار ۲۰، ۱/۹۰ در تیمار ۴۰ و ۱/۸۹ در تیمار ۸۰ کاهش یافت.

اثر تیمارهای الکترومغناطیس بر ویژگی‌های رویشی و فیزیولوژیکی گل‌ها شامل قطر و ارتفاع ساقه گلدهنده، سطح برگ، غلظت پتاسیم، فسفر و ماده خشک برگ و برهمکنش آنها و رقم بر قطر و ارتفاع ساقه گلدهنده، قطر غنچه و سطح برگ، غلظت فسفر و عمر گلچای و شاخص‌های رنگ گل^a و^c معنی دار شد (جدول ۲). نتیجه‌های مقایسه میانگین نشان داد که برهمکنش تیمار و رقم به صورت معنی‌دار در رقم سامورایی در تیمار ۴۰ و در رقم لاکسور در تیمار ۲۰ قطر ساقه گلدهنده را افزایش داد (جدول ۲). همچنین تیمار ۲۰ در رقم سامورایی و تیمار ۸۰ در رقم لاکسور به صورت معنی‌داری قطر گل را افزایش داد (جدول ۲). این برهمکنش به صورت معنی‌دار در همه تیمارها از غلظت فسفر کاسته شد (جدول ۲). سطح برگ افزود (جدول ۲). همچنین به صورت معنی‌دار در هر دو رقم در همه تیمارها از غلظت فسفر کاسته شد (جدول ۲). در رقم سامورایی در تیمار ۲۰ به صورت معنی‌دار بر غلظت پتاسیم افزوده و در رقم لاکسور در تیمار ۸۰ از آن کاسته شد (جدول ۲). هیچکدام از تیمارها تاثیر معنی‌دار بر غلظت کلسیم و نیتروژن نداشتند (جدول ۲). در رقم سامورایی، همه تیمارها به صورت معنی‌دار غلظت ماده خشک را کاهش دادند، اما در رقم لاکسور تاثیر معنی‌دار بر آن نداشتند (جدول ۲). شاخص سبزینه برگ در رقم سامورایی در هیچ یک از تیمارها تغییرهای معنی‌دار نداشت، اما در رقم لاکسور به صورت معنی‌دار در تیمار ۸۰ افزایش و در سایر تیمارها کاهش یافت (جدول ۲). شاخص‌های رنگ گل^a،^b و^c در رقم سامورایی در تیمار ۸۰ و شاخص رنگ^a در هر دو رقم در همه تیمارها تغییرهای معنی‌دار داشتند (جدول ۲). هیچکدام از تیمارها تاثیر معنی‌دار بر تعداد گل در بوته نداشتند (جدول ۲). برهمکنش تیمار و رقم به صورت معنی‌دار در رقم سامورایی در تیمار ۴۰ بر ارتفاع ساقه گلدهنده افزود و در تیمارهای ۲۰ و ۸۰ از آن کاست و در رقم لاکسور در همه تیمارها به صورت معنی‌دار بر آن افزود (شکل ۱). همچنین این برهمکنش به صورت اندک و غیر معنی‌دار در همه تیمارها و در رقم لاکسور به غیر از تیمار ۸۰ با اثر افزایش دهنده، در بقیه تیمارها از عمر گلچای کاست (شکل ب).

جدول ۲- تغییرهای ویژگی‌های رویشی و زایشی، غلظت عنصرهای غذایی و شاخص‌های رنگ گل با انگیزش میدان‌های الکترومغناطیس.

Table 2. Changes of reproductive and vegetative properties, nutritional elements density and flower color indices under effect of electromagnetic fields.

متغیرها Variables	شاخص‌های رنگ گل Flower color indices																
	شاخص‌های رنگ گل Flower color indices						شاخص‌های رنگ گل Flower color indices										
رقم Cultivar	S. L.	Flower No. شمار گل	Bud diameter (mm) قطر گل (mm)	Leaf area (cm ²) سطح برگ (cm ²)	Ca (mg g ⁻¹) کلسیم (mg g ⁻¹)	K (mg g ⁻¹) بوتاسیم (mg g ⁻¹)	P (mg g ⁻¹) فسفور (mg g ⁻¹)	N (mg g ⁻¹) نیتروژن (mg g ⁻¹)	Leaf Chlorophyll Index شاخص سبزیت برگ	Leaf dry matter (%) ماده خشک برگ	L * L*	a * a*	b * b*	c * c*	h ° h°	ΔE * ΔE*	
برهمکنش میدان Ef.0	S. Ef.0	8.8 ^a	5.5 ^a	17.9 ^a	2109.4 ^a	5.4 ^a	3 ^a	6.1 ^a	25.6 ^a	55.6 ^a	51.9 ^a	22.2 ^b	46.6 ^b	28.6 ^b	54.6 ^b	28.8 ^a	19.6 ^a
الکترومغناطیس و رقم Ef.20	L. Ef.20	5.5 ^a	5.5 ^a	17.1 ^b	1574.8 ^b	5.9 ^a	24.6 ^a	5.6 ^b	24.5 ^a	66.2 ^a	53.6 ^a	37.3 ^a	63.1 ^a	29.4 ^a	70 ^a	24.7 ^a	12.1 ^b
Electromagnetic field Mیدان الکترومغناطیس	Ef.40	7.8 ^a	5.3 ^{ab}	17.2 ^a	1414.3 ^b	6.6 ^a	27 ^{ab}	6.3 ^a	25.2 ^a	64.1 ^a	58.9 ^a	30.9 ^a	57.8 ^a	30.3 ^a	65.6 ^a	27.7 ^a	16.7 ^a
Ef.80	8.6 ^a	5.3 ^b	17.6 ^a	1700.7 ^{ab}	5.6 ^a	35.3 ^a	5.8 ^b	25.7 ^a	54.3 ^a	50.9 ^{ab}	32.3 ^a	58.5 ^a	29.3 ^a	65.7 ^a	26.7 ^a	14.3 ^a	
Interaction effect of electromagnetic field and cultivar	Ef.0	7.8 ^a	5.9 ^a	17.4 ^a	2376 ^a	4.7 ^a	23.6 ^b	5.7 ^b	24.4 ^a	52.2 ^a	48.2 ^b	30.3 ^a	55.7 ^a	29.8 ^a	63.5 ^a	27.8 ^a	17.57 ^a
	Ef.20	7.8 ^a	5.2 ^b	17.4 ^a	2087.3 ^{ab}	4.06 ^a	38.33 ^a	6.1 ^b	26.39 ^a	56.5 ^b	48.48 ^{ab}	26.46 ^{ab}	54.07 ^{ab}	31.93 ^a	62.77 ^{ab}	30.56 ^a	18.6 ^{ab}
	Ef.40	7 ^a	5.8 ^{ab}	16.4 ^b	1314 ^b	7.23 ^a	32.33 ^{ab}	5.6 ^{bc}	25.01 ^a	52.1 ^b	53.48 ^{ab}	38.36 ^a	63.03 ^a	26.8 ^a	68.73 ^a	22.9 ^a	10.13 ^b
	Ef.80	7 ^a	6.4 ^a	17.7 ^{ab}	2758.7 ^a	3.9 ^a	23.66 ^{ab}	5.6 ^{bc}	24.15 ^a	53.22 ^b	45.46 ^b	25.33 ^{ab}	48.57 ^{ab}	26.8 ^a	55.6 ^{ab}	28.36 ^a	20.63 ^a
	S. Ef.0	8.66 ^a	5.4 ^b	17.1 ^b	1993.3 ^{ab}	5.5 ^a	23.66 ^{ab}	5.8 ^{bc}	24.78 ^a	51.33 ^b	50.97 ^{ab}	35.36 ^a	63 ^a	32.9 ^a	71.5 ^a	27.4 ^a	14.5 ^{ab}
	L. Ef.20	9 ^a	5.3 ^b	17.1 ^b	1531 ^b	7.95 ^a	24.5 ^{ab}	6 ^b	24.3 ^a	73.9 ^{ab}	56.45 ^{ab}	38.36 ^a	65.2 ^a	30.53 ^a	72.57 ^a	24.8 ^a	12.9 ^{ab}
	S. Ef.40	9 ^a	5.2 ^b	18.8 ^a	2087.3 ^{ab}	4.06 ^a	38.33 ^a	6.1 ^b	26.39 ^a	56.5 ^b	48.48 ^{ab}	26.46 ^{ab}	54.07 ^{ab}	31.93 ^a	62.77 ^{ab}	30.56 ^a	18.6 ^{ab}
	L. Ef.80	7 ^a	5.8 ^{ab}	16.4 ^b	1314 ^b	7.23 ^a	32.33 ^{ab}	5.6 ^{bc}	25.01 ^a	52.1 ^b	53.48 ^{ab}	38.36 ^a	63.03 ^a	26.8 ^a	68.73 ^a	22.9 ^a	10.13 ^b
	S. Ef.0	7 ^a	6.4 ^a	17.7 ^{ab}	2758.7 ^a	3.9 ^a	23.66 ^{ab}	5.6 ^{bc}	24.15 ^a	53.22 ^b	45.46 ^b	25.33 ^{ab}	48.57 ^{ab}	26.8 ^a	55.6 ^{ab}	28.36 ^a	20.63 ^a
	L. Ef.20	7 ^a	6.4 ^a	17.7 ^{ab}	2758.7 ^a	3.9 ^a	23.66 ^{ab}	5.6 ^{bc}	24.15 ^a	53.22 ^b	45.46 ^b	25.33 ^{ab}	48.57 ^{ab}	26.8 ^a	55.6 ^{ab}	28.36 ^a	20.63 ^a
	S. Ef.40	8.66 ^a	5.4 ^b	17.1 ^b	1993.3 ^{ab}	5.5 ^a	23.66 ^{ab}	5.8 ^{bc}	24.78 ^a	51.33 ^b	50.97 ^{ab}	35.36 ^a	63 ^a	32.9 ^a	71.5 ^a	27.4 ^a	14.5 ^{ab}
	L. Ef.80	8.66 ^a	5.1 ^b	17.8 ^{ab}	2294 ^{ab}	8.33 ^a	28.33 ^{ab}	6 ^b	25.83 ^a	58.6 ^b	52.41 ^{ab}	13.7 ^b	33.37 ^b	25.7 ^a	41.37 ^b	25.5 ^a	18.9 ^{ab}
	S. Ef.0	6.66 ^a	5.1 ^b	17.8 ^{ab}	1461 ^b	3.2 ^a	18 ^b	5.3 ^c	24.22 ^a	87.58 ^a	53.84 ^{ab}	37.53 ^a	61.47 ^a	27.46 ^a	67.4 ^a	23.7 ^a	11 ^b
	L. Ef.20	9 ^a	5.3 ^b	17.1 ^b	1531 ^b	7.95 ^a	24.5 ^{ab}	6 ^b	24.3 ^a	73.9 ^{ab}	56.45 ^{ab}	38.36 ^a	65.2 ^a	30.53 ^a	72.57 ^a	24.8 ^a	12.9 ^{ab}
	S. Ef.40	9 ^a	5.2 ^b	18.8 ^a	2087.3 ^{ab}	4.06 ^a	38.33 ^a	6.1 ^b	26.39 ^a	56.5 ^b	48.48 ^{ab}	26.46 ^{ab}	54.07 ^{ab}	31.93 ^a	62.77 ^{ab}	30.56 ^a	18.6 ^{ab}
	L. Ef.80	7 ^a	5.8 ^{ab}	16.4 ^b	1314 ^b	7.23 ^a	32.33 ^{ab}	5.6 ^{bc}	25.01 ^a	52.1 ^b	53.48 ^{ab}	38.36 ^a	63.03 ^a	26.8 ^a	68.73 ^a	22.9 ^a	10.13 ^b
	S. Ef.0	7 ^a	6.4 ^a	17.7 ^{ab}	2758.7 ^a	3.9 ^a	23.66 ^{ab}	5.6 ^{bc}	24.15 ^a	53.22 ^b	45.46 ^b	25.33 ^{ab}	48.57 ^{ab}	26.8 ^a	55.6 ^{ab}	28.36 ^a	20.63 ^a
	L. Ef.20	7 ^a	6.4 ^a	17.7 ^{ab}	2758.7 ^a	3.9 ^a	23.66 ^{ab}	5.6 ^{bc}	24.15 ^a	53.22 ^b	45.46 ^b	25.33 ^{ab}	48.57 ^{ab}	26.8 ^a	55.6 ^{ab}	28.36 ^a	20.63 ^a
	S. Ef.40	7 ^a	6.4 ^a	17.7 ^{ab}	2758.7 ^a	3.9 ^a	23.66 ^{ab}	5.6 ^{bc}	24.15 ^a	53.22 ^b	45.46 ^b	25.33 ^{ab}	48.57 ^{ab}	26.8 ^a	55.6 ^{ab}	28.36 ^a	20.63 ^a
	L. Ef.80	7 ^a	6.4 ^a	17.7 ^{ab}	2758.7 ^a	3.9 ^a	23.66 ^{ab}	5.6 ^{bc}	24.15 ^a	53.22 ^b	45.46 ^b	25.33 ^{ab}	48.57 ^{ab}	26.8 ^a	55.6 ^{ab}	28.36 ^a	20.63 ^a
	S. Ef.0	6.66 ^a	5.4 ^b	17.1 ^b	1993.3 ^{ab}	5.5 ^a	23.66 ^{ab}	5.8 ^{bc}	24.78 ^a	51.33 ^b	50.97 ^{ab}	35.36 ^a	63 ^a	32.9 ^a	71.5 ^a	27.4 ^a	14.5 ^{ab}
	L. Ef.20	8.66 ^a	5.4 ^b	17.1 ^b	1993.3 ^{ab}	5.5 ^a	23.66 ^{ab}	5.8 ^{bc}	24.78 ^a	51.33 ^b	50.97 ^{ab}	35.36 ^a	63 ^a	32.9 ^a	71.5 ^a	27.4 ^a	14.5 ^{ab}
	S. Ef.40	8.66 ^a	5.4 ^b	17.1 ^b	1993.3 ^{ab}	5.5 ^a	23.66 ^{ab}	5.8 ^{bc}	24.78 ^a	51.33 ^b	50.97 ^{ab}	35.36 ^a	63 ^a	32.9 ^a	71.5 ^a	27.4 ^a	14.5 ^{ab}
	L. Ef.80	8.66 ^a	5.4 ^b	17.1 ^b	1993.3 ^{ab}	5.5 ^a	23.66 ^{ab}	5.8 ^{bc}	24.78 ^a	51.33 ^b	50.97 ^{ab}	35.36 ^a	63 ^a	32.9 ^a	71.5 ^a	27.4 ^a	14.5 ^{ab}
	S. Ef.0	6.66 ^a	5.4 ^b	17.8 ^{ab}	2294 ^{ab}	8.33 ^a	28.33 ^{ab}	6 ^b	25.83 ^a	58.6 ^b	52.41 ^{ab}	13.7 ^b	33.37 ^b	25.7 ^a	41.37 ^b	25.5 ^a	18.9 ^{ab}
	L. Ef.20	8.66 ^a	5.4 ^b	17.8 ^{ab}	2294 ^{ab}	8.33 ^a	28.33 ^{ab}	6 ^b	25.83 ^a	58.6 ^b	52.41 ^{ab}	13.7 ^b	33.37 ^b	25.7 ^a	41.37 ^b	25.5 ^a	18.9 ^{ab}
	S. Ef.40	8.66 ^a	5.4 ^b	17.8 ^{ab}	2294 ^{ab}	8.33 ^a	28.33 ^{ab}	6 ^b	25.83 ^a	58.6 ^b	52.41 ^{ab}	13.7 ^b	33.37 ^b	25.7 ^a	41.37 ^b	25.5 ^a	18.9 ^{ab}
	L. Ef.80	8.66 ^a	5.4 ^b	17.8 ^{ab}	2294 ^{ab}	8.33 ^a	28.33 ^{ab}	6 ^b	25.83 ^a	58.6 ^b	52.41 ^{ab}	13.7 ^b	33.37 ^b	25.7 ^a	41.37 ^b	25.5 ^a	18.9 ^{ab}
	S. Ef.0	6.66 ^a	5.4 ^b	17.8 ^{ab}	2294 ^{ab}	8.33 ^a	28.33 ^{ab}	6 ^b	25.83 ^a	58.6 ^b	52.41 ^{ab}	13.7 ^b	33.37 ^b	25.7 ^a	41.37 ^b	25.5 ^a	18.9 ^{ab}
	L. Ef.20	8.66 ^a	5.4 ^b	17.8 ^{ab}	2294 ^{ab}	8.33 ^a	28.33 ^{ab}	6 ^b	25.83 ^a	58.6 ^b	52.41 ^{ab}	13.7 ^b	33.37 ^b	25.7 ^a	41.37 ^b	25.5 ^a	18.9 ^{ab}
	S. Ef.40	8.66 ^a	5.4 ^b	17.8 ^{ab}	2294 ^{ab}	8.33 ^a	28.33 ^{ab}	6 ^b	25.83 ^a	58.6 ^b	52.41 ^{ab}	13.7 ^b	33.37 ^b	25.7 ^a	41.37 ^b	25.5 ^a	18.9 ^{ab}
	L. Ef.80	8.66 ^a	5.4 ^b	17.8 ^{ab}	2294 ^{ab}	8.33 ^a	28.33 ^{ab}	6 ^b	25.83 ^a	58.6 ^b	52.41 ^{ab}	13.7 ^b	33.37 ^b	25.7 ^a	41.37 ^b	25.5 ^a	18.9 ^{ab}
	S. Ef.0	6.66 ^a	5.4 ^b	17.8 ^{ab}	2294 ^{ab}	8.33 ^a	28.33 ^{ab}	6 ^b	25.83 ^a	58.6 ^b	52.41 ^{ab}	13.7 ^b	33.37 ^b	25.7 ^a	41.37 ^b	25.5 ^a	18.9 ^{ab}
	L. Ef.20	8.66 ^a	5.4 ^b	17.8 ^{ab}	2294 ^{ab}	8.33 ^a	28.33 ^{ab}	6 ^b	25.83 ^a	58.6 ^b	52.41 ^{ab}	13.7 ^b	33.37 ^b	25.7 ^a	41.37 ^b	25.5 ^a	18.9 ^{ab}
	S. Ef.40	8.66 ^a	5.4 ^b	17.8 ^{ab}	2294 ^{ab}	8.33 ^a	28.33 ^{ab}	6 ^b	25.83 ^a	58.6 ^b	52.41 ^{ab}	13.7 ^b					

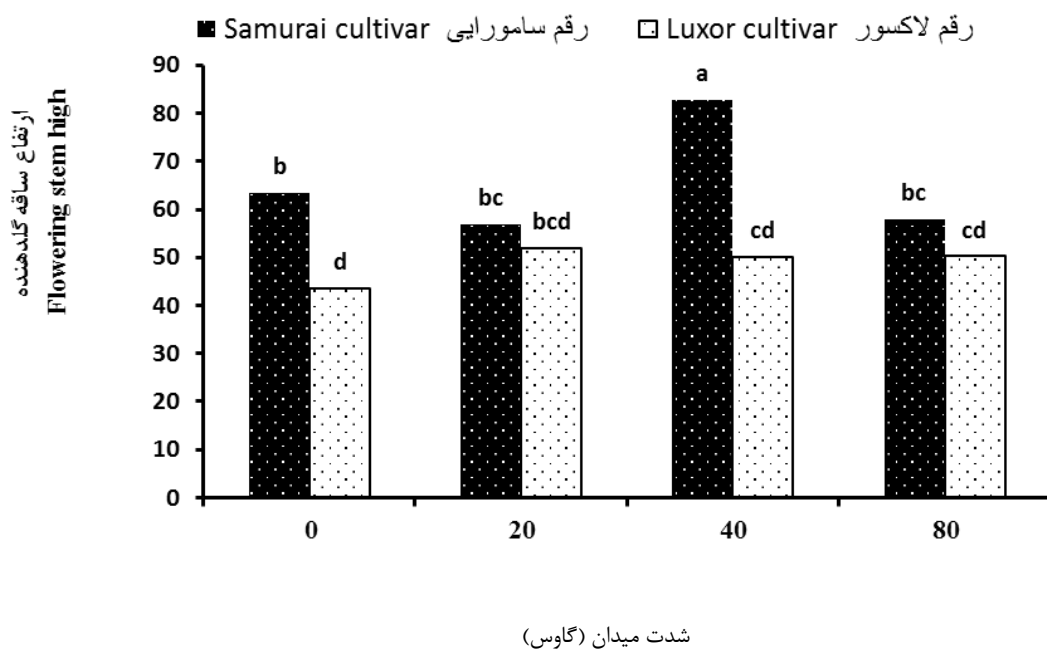


Fig. 1. Mean comparison of interaction effect of electromagnetic fields and cultivar on flowering stem height
شکل ۱ - مقایسه میانگین برهمنکنش میدان‌های الکترومغناطیس و رقم بر ارتفاع ساقه گلدهنده.

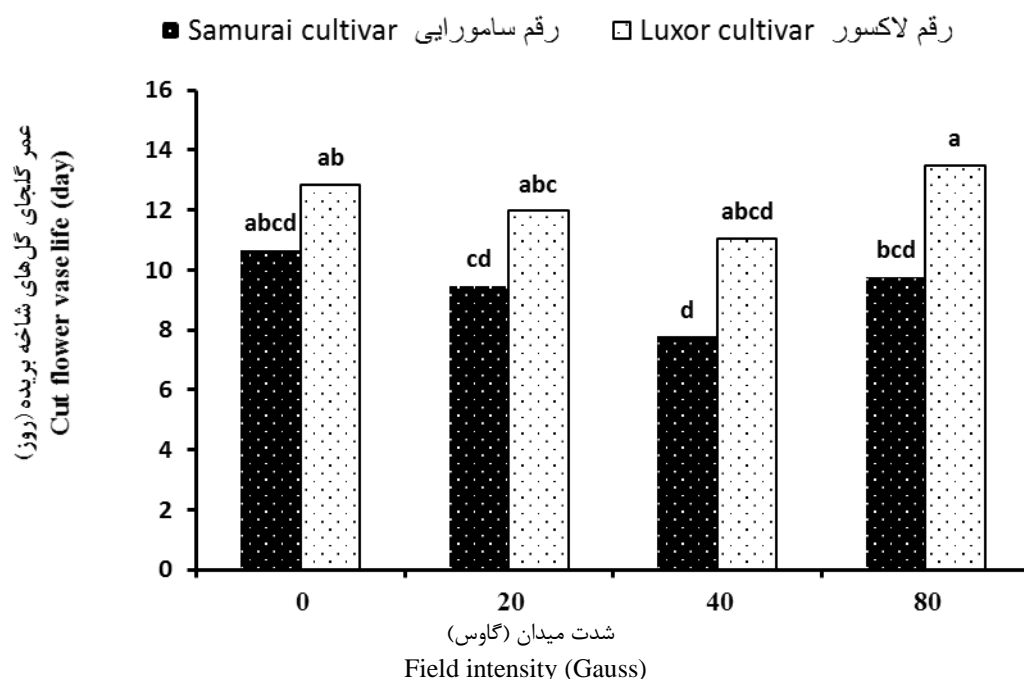


Fig. 2. Mean comparison of interaction effect of electromagnetic fields and cultivar on vase life of rose cut flower.
شکل ۲ - مقایسه میانگین برهمنکنش میدان‌های الکترومغناطیس و رقم بر عمر گلچای گل بریده ورد.

آب یا محلول مغناطیسی شده در آزمایش‌های گوناگون سبب تغییر رشد و فیزیولوژی گیاهان گوناگون شده است. هرچند سازوکار اثر آن به طور کامل شناخته نشده، اما به نظر می‌رسد که تغییر ویژگی‌های آب زیر انگیزش مغناطیسی، سبب افزایش جذب آب و عنصرها و در پایان تغییر رشد باشد (۲). در آزمایش حاضر در رقم سامورایی ارتفاع ساقه گلدهنده در تیمار‌های ۲۰ و ۸۰ کاهاش، و در رقم ۴۰ و در رقم لاکسور در همه تیمارها افزایش یافت (شکل ۱) که نشان‌دهنده تفاوت واکنش رقم‌ها به شدت مغناطیسی است که پژوهشگران در گیاهان دیگر نیز گزارش نموده‌اند (۲). در رقم سامورایی تیمار ۲۰ تغییری در قطر ساقه گلدهنده ایجاد نکرد، اما تیمارهای ۴۰ و ۸۰ بر آن افزودند (جدول ۲). همچنین افزایش شدت تیمارها تاثیر چندانی بر قطر گل نداشت (جدول ۲). رشد رویشی رقم‌ها از میدان‌های الکترومغناطیسی تاثیر پذیرفت و در رقم سامورایی در هر سه تیمار سطح برگ افزایش یافت (جدول ۲) که مشابه با نتیجه‌های گزارش شده تاثیرهای میدان مغناطیسی بر ویژگی‌های عملکردی سویا (۲) و ریحان (۱۸) است. این اثرهای مثبت ممکن است با بهبود کارایی مصرف آب، نفوذپذیری پوسته و بهبود ظرفیت جذب آب که دیگر پژوهشگران گزارش نموده‌اند (۸، ۱۶) مرتبط باشد. شاخص سبزینه برگ در رقم سامورایی تغییر معنی‌دار نداشت، اما در رقم لاکسور در تیمارهای ۲۰ و ۴۰ کاهاش و در تیمار ۸۰ افزایش داشت (جدول ۲). میزان ماده خشک برگ در میدان‌های ۲۰، ۴۰ و ۸۰ در هر دو رقم کاهاش داشت (جدول ۲). آب مغناطیسی شده به علت کشش سطحی کمتر، قابلیت حل عنصرهای غذایی بیشتر را داشته، در نتیجه این امکان وجود دارد که تغذیه گیاهان آبیاری شده با آن در سطح بالاتر انجام شود که می‌تواند از دلایل افزایش رشد رویشی گیاهان باشد. این نوع آب در گل همیشه بهار^۱ سطح برگ (۷)، و در گل پروانش^۲ ارتفاع گیاه و قطر گل (۹) را افزایش داد که با نتایج آزمایش حاضر همسو است.

برخی پژوهش‌ها تغییر جذب ماده‌های غذایی ناشی از کاربرد میدان مغناطیسی روی گیاهان را نشان داده‌اند (۱۳) که ممکن است با تقسیم یاخته‌ای (۲)، افزایش هدایت روزنای (۱۶) و رشد بهتر ریشه (۳) مرتبط باشد. کاهاش غلظت فسفر در آزمایش حاضر با یافته‌های دیگر پژوهشگران همسو نبود که علت آن را می‌توان با اثر رقت مرتبط دانست. زمانی که رشد رویشی گیاه افزایش یابد غلظت بعضی عنصرها به علت اثر رقت کاهاش می‌یابد (۲۰). اثر میدان‌های مغناطیسی بر ترکیب شیمیایی گیاهان بسته به نوع، شدت، شیوه کاربرد و مدت زمان به کارگیری میدان و گونه گیاهی، نوع ماده غذایی و شرایط آزمایش متفاوت است. در توت‌فرنگی جذب عنصرها در شدت‌های گوناگون میدان الکترومغناطیس متفاوت بوده و رابطه مستقیم با آن ندارد (۶). نتیجه‌های آزمایش حاضر نیز نشان داد که رابطه مستقیم میان شدت تیمار الکترومغناطیس و میزان جذب عنصرهای فسفر و پتاسیم وجود نداشته و این تیمارها تاثیر قابل توجهی بر غلظت کلسیم و نیتروژن گیاه نداشته‌اند. کاربرد محلول غذایی مونو کلسیم فسفات مغناطیسی شده در ریحان سبب افزایش سبزینگی شد (۱۸) که با نتیجه‌های این آزمایش در برخی تیمارها همخوان است.

در کدو مسمایی^۳ بین جذب فسفر و نیتروژن، کلسیم، پتاسیم و منیزیم رابطه مستقیم وجود داشته و آب مغناطیسی شده با دگرگونی جذب فسفر بر جذب دیگر عنصرها و ترکیب‌های زیست‌شیمیایی گیاه اثر می‌گذارد (۱۴). در این آزمایش بین غلظت پتاسیم و نیتروژن رابطه مستقیم مشاهده شد، اما بین دیگر عنصرها رابطه مستقیم مشاهده نشد که بیانگر این است که میدان‌های الکترومغناطیس ممکن است به شیوه‌ای متفاوت با میدان‌های مغناطیسی بر جذب عنصرهای غذایی تاثیر بگذارند که این موضوع را پژوهشگران دیگر هم گزارش داده‌اند (۸). تغییرهای فسفر در اثر میدان‌های الکترومغناطیس می‌تواند بر فعالیت زیست‌شیمیایی گیاهان تاثیرگذار باشد. فسفر عنصر حیاتی برای گیاه بوده و کاهاش جذب آن به طور غیر مستقیم بر جذب سایر عنصرهای مورد نیاز گیاه تاثیرگذار است (۱۵). میدان‌های الکتریکی و الکترومغناطیس به احتمال با کاربرد شارژ مغناطیسی منفی روی یاخته‌های گیاهی بر جذب کاتیون‌های با شارژ مغناطیسی مثبت افزوده و مانع جذب آئیون‌های با شارژ مغناطیسی منفی از جمله فسفر می‌شوند (۶). در آزمایش حاضر به نظر می‌رسد که کاهاش اندک غلظت کلسیم در همه تیمارها به غیر از ۸۰ در رقم سامورایی و کاهاش نیتروژن و پتاسیم در همه تیمارها به غیر از تیمار ۲۰، با کاهاش جذب فسفر در همه تیمارها مرتبط بوده و ممکن است منشاء کاهاش ترکیب‌های آلی و معدنی مورد نیاز برای ادامه زندگی گل‌های بریدنی پس از برداشت و موجب کاهاش اندک عمر گل‌جای باشد. همچنین به نظر می‌رسد که بزرگ شدن اندام‌های گیاهی در آزمایش

حاضر، ممکن است به علت افزایش جذب آب ناشی از تغییر ساختار فیزیکی آن زیر تیمار مغناطیسی که موجب بالارفتن فشار آماس داخل یاخته‌ها می‌گردد، باشد (۲).

نتیجه‌گیری

تیمارهای الکترومغناطیس بر شمار گل در بوته تاثیر نداشت، اما ویژگی‌های مثبتی مانند ارتفاع و قطر ساقه گلدهنده و قطر گل‌ها را بهتر نمود ولی آن طور که آزمایش حاضر نشان داد، بعضی از تیمارهای الکترومغناطیس بکار گرفته شده در این آزمایش عمر گلچای گل‌ها را اندکی کاهش دادند که از لحاظ اقتصادی مناسب نمی‌باشد. بنابراین، می‌توان گفت که به نظر می‌رسد که برای دست‌یابی به نتیجه‌های بهتر بایستی روش‌های دیگر کاربرد میدان الکترومغناطیس و یا شدت‌های دیگر میدان را مورد بررسی قرار داد.

References

1. Ahmed Youssef, M., and M. E. Abou Kamer. 2019. Effectiveness of different nutrition sources and magnetic fields on lettuce grown under hydroponic system. *Sci. J. Agr. Sci.* 1 (2): 62-71.
2. Aliverdi, A., M. Parsa and H. Hammami. 2015. Increased soyabean-rhizobium symbiosis by magnetically treated water. *Biol. Agr. Hort.* 31(3): 167-176.
3. Belyavskaya, N.A. 2001. Ultrastructure and calcium balance in meristem cells of pea roots exposed to extremely low magnetic fields. *Adv. Space Res.* 28: 645-650
4. Chang, K.T. and C.I. Weng. 2006. The effect of an external magnetic field on the structure of liquid water using molecular dynamics simulation. *J. Appl. Phys.* 100:043917-1-6
5. Choi, Y. C., C. Pak and K. S. Kim. 2006. Electric field effects on water clusters ($n=3-5$): systematic *ab initio* study of structures, energetics, and transition stages. *J. Chem. Phys.* 124: 094308-1-4.
6. Ezitken, A. and M.Turan. 2004. Alternating magnetic field effects on yield and plant nutrient element composition of strawberry (*Fragaria x ananassa* cv. *Camarosa*). *Acta Agric. Scand., Sect. B, Soil and Plant Sci.* 54: 135-139.
7. Ghanavizchi, F., A. Tehranifar, M. Kahrobaian, A. Halajian. 2018. Investigation of magnetic water on som morphological parameters of marigold under water salinity stress. Ferdowsi university Of Mashhad Publ.7. in Persian.
8. Goldsworthy, A., H. Whitney and E. Moriss. 1999. Biological effects of physically conditioned water. *water res.* 33(7): 1618- 1626.
9. Hashemabadi, D.. 2017. The activity of superoxide dismutase and peroxidase enzymes under the influence of water and irrigation intervals to ornamental periwinkle. *Iran. J. Hort. Sci.* 48(1): 49-59. In Persian.
10. Ibrahim I.H. 2006. Biophysical properties of magnetized distilled water. *Egypt. J. Sol.* 29(2): 363-369.
11. Mane, D.R. and V. S. Sawant. 2015. Comparative study of effect of magnetic field and magnetically treated water on growth pf plants and crop yield. *Intl. J. Sci. Res. Dev.* 3(2): 300-302.
12. Marshal J.S., E.R. Pounder, R.W. Stewart. 1967. physics. 2 edition. The Macmillan Company of Canada Limited. 1139. ISBN 978-1-349-81613-2 (e book)
13. Podlesny, J., S. Pietruszewski, and A. Podlesna. 2004. Efficiency of the magnetic treatment of broad bean seeds cultivated under experimental plot conditions. *Intl. Agrophys.* 18: 65-71.
14. Rasheed Ahmed, S. M. and K. Abdul-Kareem Hassan. 2015. Effect of magnetic water and phosphorus rates on some nutrients uptake by summer squash grown in calcareous soil of Duhok governorate. *J. University of Zakho.* 3(2): 250-260.
15. Rodriguez- Conception, M., I. Ahumada, E. Diez-Juez, S. Sauret-Gueto, L. M. Loist, F. Gallego, L. Carretero-Paulet, N. Campos and A. Boronat. 2001. 1-Deoxy-D-xylulose 5-phosphate reductoisomerase and plastid isoprenoid biosynthesis during tomato fruit ripening. *Plant J.* 27(3): 213-222.
16. Sadeghipour, O. and P. Aghaei. 2013. Improving the growth of cowpea (*Vigna unguiculata* L. Walp.) by magnetized water. *J. Biodivers. and Environ. Sci.* 3: 37-43.
17. Saitta, A. M., F. Saija, P. V. Giaquinta. 2012. Ab initio molecular dynamics study of dissociation of water under an electric field. *Amer. Phys. Soc.* 108: 207801-1-5.
18. Shabani, E., S. Bolandnazar and S.-J. Tabatabaei. 2019. Magnetized phosphorus solution and mycorrhization with *Diversispora Versiformis* affect P use efficiency, growth and photosynthetic parameters in sweet basil (*Ocimum Basilicum*). *Sciendo J. Hort. Res.* 27(2): 103-112.
19. Soleimani, M., F. Qanati, S. Muhammad-Alikhani and H. Zare-Maivan. 2016. Improving the activity of antioxidant enzymes in corn (*Zea mays L.*) after irrigation with magnetized water. *J. Dev. Biol.* 9(2): 27-39. In Persian.
20. Tabatabaei, S.-J.. 2013. Principles of mineral nutrition of plants. Tabriz University Publication. 562. In Persian.

منابع

21. Xiao-Feng, P. and D. Bo. 2008. The changes of macroscopic features and microscopic structures of water under influence of magnetic field. *Physica B J.* 403: 3571-3577.
22. Zareei, E., F. Zaare-Nahandi, S. Oustan and J. Hajilou. 2019. Effects of magnetic solutions on some biochemical properties and production of some phenolic compounds in grapevine (*Vitis vinifera* L.). *Sci. Hort.* 253: 217-226.

Effect of Magnetized Nutrient Solution on Growth, Some Physiological Properties and Content of Mineral Elements of Two Rose Cultivars in Hydroponic Culture Conditions

A. Faridnia, S.J. Tabatabaei* and **I. Rohollahi¹**

This experiment was performed to investigate the effect of magnetized nutrient solution under four electromagnetic treatments (0, 20, 40 and 80 GAUSS) on growth, physiological properties and nutrient elements of two rose cultivars (Samurai and Luxor) in a factorial completely random design with three replications. In each experimental unit, four bushes were planted in PUMedia medium and were nourished with nutritional solution by digital timer in open system. The results showed that pH and electrical conductivity of the nutrient solution were slightly reduced in all treatments. Flowering stem high increased significantly in 40 GAUSS treatment for Samurai cultivar 23% and 20 GAUSS treatment for Luxor cultivar 16%. Stem diameter increased significantly in 40 GAUSS treatment for Samurai cultivar 22% and 20 GAUSS treatment for Luxor cultivar 10%. The leaf area increment of the two cultivars was significant and its amount in 40 GAUSS treatment was 68%. Phosphorous concentration of cultivars decreased significantly. Flower number, calcium and nitrogen concentration, as well as leaf chlorophyll and flower color indices weren't affected. Vase life changes in both cultivars were slight and insignificant in all treatments.

Keywords: Electromagnetic, Electric, Flower, Magnetic.

1. M.Sc. Student of the Faculty of Agricultural Sciences, Professor of the Faculty of Agricultural Sciences and Research Center for Medicinal Plants and Assistant Professor of the Faculty of Agricultural Sciences, Shahed University, Tehran, Iran, Respectively.

* Corresponding Author, Email: (j.tabatabaei@shahed.ac.ir).